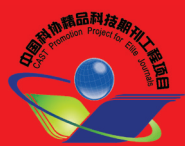


1981 年创刊 物理类、化学类核心期刊

ISSN 1000-0593
CODEN GYGFED

2021
12 月刊



光谱学与光谱分析

GUANGPUXUE YU GUANGPU FENXI

嚴濟慈題

第 41 卷 第 12 期
Vol.41 No.12

SPECTROSCOPY AND SPECTRAL ANALYSIS

主管：中国科学技术协会
主办：中国光学学会
承办：钢铁研究总院
中国科学院物理研究所
北京大学
清华大学

ISSN 1000-0593



9 771000 059213



目 次

近红外光谱技术在葡萄及其制品品质检测中的应用研究进展	张 静	徐 阳	姜彦武	郑成宇	周 军	韩长杰(3653)					
对乙酰氨基酚的太赫兹时域光谱研究	郑转平	李爱东	李春艳	董 军(3660)				
基于小波系数图和卷积神经网络的太赫兹光谱物质识别	陈妍伶	程良伦	吴 衡	徐利民	何伟健	李 凤(3665)					
微波等离子体原子发射光谱分析膨润土中总砷的研究	李爱阳	符 靓(3671)					
TDLAS 波长调制法中调制深度与高次谐波中心幅值关系的研究	陈 昊	鞠 显	韩 立(3676)					
土壤粒度对基于近红外离散波长土壤全氮预测精度影响	周 鹏	王炜超	杨 玮	冀荣华	李民赞(3682)					
傅里叶变换红外光谱的牛乳中 α_1 -酪蛋白和 κ -酪蛋白含量的快速检测	肖仕杰	王巧华	樊懿楷	刘维华	张淑君(3688)					
近红外光谱的不同产地柑橘无损鉴别方法	李季奇	邵怀峰	蒋立文	刘 霞(3695)				
基于 GADF 变换和多尺度 CNN 的哈密瓜表面农药残留可见-近红外光谱判别方法	喻国威	马本学	陈金成	党富民	李小占	李 聰	王 刚(3701)			
中红外光谱结合模式识别快速鉴别生/制首乌	林 艳	夏伯候	李 春	林丽美	李亚梅(3708)			
基于近红外 TDLAS 变压器油中溶解气体在线检测装置	陈 杨	戴景民	王振涛	杨宗举(3712)				
基于页岩气返排液中甲烷浓度及排放速率的红外光谱反演研究	薛 明(3717)				
基于 Raman 与 FTIR 对掺甲烷乙烯/氢气扩散火焰碳烟有序度和官能团的研究	成潇潇	刘建国	徐 亮	徐寒杨	金 岭	薛 明(3717)		
基于红外光谱对野生冬虫夏草不同部位的识别	朱雨涵	顾明言	朱本成	伍佳佳	林郁郁(3722)					
锗钨酸晶体合成、二维红外光谱和抗肿瘤活性研究	陈 逃	郭 慧	袁 满	谭福元	李益洲	李梦龙(3727)				
基于光谱技术的双孢蘑菇新鲜度量化检测技术研究	黄晓辉	黄晓星	应少明	毕文超	高小梅	孙燕琼(3733)				
可见-近红外透射光谱检测活体甘蔗蔗糖分的方法	马 涅	张 开	姬江涛	金 鑫	赵凯旋(3740)			
一个灵活的水结构：来自拉曼光谱的证据	吕雪刚	李修华	张诗敏	张木清	蒋洪涛(3747)			
表面增强拉曼光谱法快速检测猪肉中左旋咪唑残留	施思倩	杨方威	姚卫蓉	于 航	胡庆成	赵海文(3753)				
基于拉曼成像技术的面粉中抗坏血酸添加剂定量检测研究	王 晓彬	张 苗	关晨至	洪华秀	黄双根	谢云飞(3759)				
基于拉曼光谱技术的桑椹花色素苷快速检测研究	张慧洁	蔡 冲	崔旭红	赵春江(3765)				
拉曼 Mapping 研究白云鄂博萤石型稀土矿物赋存特征及分布规律	张铁柱	张宇轩	刘赛余	李航任	徐文策	张金山	欧阳顺利	张雷蕾(3771)		
高性能三维纳米结构 SERS 芯片设计、批量制备与痕量汞离子检测	吴楠楠(3776)			
江苏江阴污水处理厂排水的三维荧光光谱特征	黄 辉	田 毅	张梦蝶	徐陶然	牟 达	陈佩佩	褚卫国(3782)			
程 澄	钱玉亭	黄振荣	姜 静	邵 立	王忠喜	吕伟明	吴 静(3791)				
海面溢油包水乳化液多种探测参数的 BRRDF 仿真研究	张晓丹	孔德明	袁 丽	孔德翰	孔令富(3797)					
荧光成像及手性特异性生物识别	费学宁	郑元杰	谷迎春	李光旻	赵洪宾	张宝莲(3802)				
元代都城琉璃瓦釉层的 EDXRF 和 SEM-EDS 分析	石若瑀	温 睿	高 翔	王文轩	宝力格	赵学锋	李梓轩	曹 昆	肖 薇	李显龙(3808)
全反射 X 射线荧光分析植物粉末样品的制样方法研究	贾文宝	唐馨如	张新磊	邵金发	熊根超	凌永生	黑大千	单 卿	(3815)
离子对反相液相色谱-原子荧光光谱法测定畜禽肉中 5 种硒形态含量	魏益华	黄青青	张金艳	邱素艳	涂田华	袁林峰	戴廷灿	张标金	李伟红	严 寒(3822)
可见光波段无人机遥感图像的小麦茎蘖密度定量反演	杜蒙蒙	<i>Ali Roshanianfard</i>	刘颖超(3828)	
高光谱成像的柑橘病虫害叶片识别方法	吴叶兰	陈怡宇	廉小亲	廖 禺	高 超	管慧宁	于重重(3837)			
高光谱成像的水稻螟虫蛀入检测方法	欧阳爱国	万启明	李 雄	熊智逸	王 舜	廖琪城(3844)				
融合自适应稀疏表示和相关系数的高光谱伪装分类方法	周 冰	李秉璇	贺 宣	刘贺雄	王法臻(3851)					
结合高光谱成像和机器学习的棉种年份鉴别	段 龙	鄢天荣	王江丽	叶伟欣	陈 伟	高 攀	吕 新(3857)			

“黑碧”OH振动光谱产生分裂原因探究	代路路	杨明星(3864)
LIBS 对钛合金焊缝中成分的原位统计分布分析表征	沈学静 郭飞飞 徐 鹏 崔飞鹏 李晓鹏 刘 佳(3869)	
电感耦合等离子体光谱法研究测定地热水中锂	张辰凌 贾 娜 刘 佳 刘冰冰 韩 梅(3876)	
星载痕量气体差分吸收光谱仪 1 级数据质量评价	程良晓 陶金花 周海金 余 超 范 萌 王雅鹏 王志宝 陈良富(3881)	
基于非线性最小二乘法的多光谱拟合程序：应用于 ¹² CH ₄ 谱线参数分析	马宏亮 郑健捷 刘 强 钱仙妹 朱文越(3887)	
西藏日食太阳辐射观测研究	王 倩 诺 桑 措加旺姆 拉瓜登顿 普多旺 刘 娟 周 毅 泽 西(3892)	
基于光谱学分析的聚氨酯弹性体/聚磷酸铵/氢氧化铝复合材料阻燃机理探讨	彭建文 肖 崇 宋 强 彭中朝 黄若森 杨亚东 唐 刚(3901)	
基于光谱学分析的水泥基渗透结晶防水材料作用机理探讨	贺雄飞 黄 伟 唐 刚 张 浩(3909)	
有机和无机国画颜料漫反射光谱和吸收光谱特征研究	许照锦 李栋梁 沈 礼(3915)	
基于 IERT 的非线性全光谱复杂水体定量分析算法研究	刘嘉诚 胡炳樸 于 涛 王雪霁 杜 剑 刘 宏 刘 骁 黄琦星(3922)	
β-CD 降低 AEO-9 对紫外光谱检测 TDBAC 的影响	许慧华 石东坡 吴 浩 尹先清 郑延成 陈 武 李 庚(3931)	
光致变色天然白色方钠石宝石学和光谱学特征探究	荆晓旭 岳素伟 苏绿曼 王志文(3936)	
光谱辐射照度量值复现中计算大口径固定点黑体拐点温度的新方法	谢一航 代彩红 王彦飞 吴志峰 李 玲 贺书芳(3942)	
基于多源数据的新疆棉田螨害大范围监测研究	杨丽丽 王振鹏 吴才聪(3949)	
三元 LDH 的改性及去除酸性橙Ⅱ的光谱分析研究	姜双城 范丹阳 刘 玥 王家斌 吕海霞(3957)	
《光谱学与光谱分析》2021 年(第 41 卷)总目次(第 1~12 期)	(3963)	
《光谱学与光谱分析》投稿简则	(3659)	
关于《光谱学与光谱分析》调整审稿费收费标准的通知	(3746)	
《光谱学与光谱分析》期刊社决定采用 ScholarOne Manuscripts 在线投稿审稿系统	(3764)	
《光谱学与光谱分析》对来稿英文摘要的要求	(3796)	
《光谱学与光谱分析》2022 年征订启事	(3843)	
本刊声明	(3863)	
敬告读者——《光谱学与光谱分析》已全文上网	(3900)	

本刊系中国物理类、化学类核心期刊；中国科协精品科技期刊；已被国内外CJCR,CNKI,CSCD,WJCI,SCI,Ei,CA,AA,PJK,MEDLINE,Scopus等文献机构收录；中国科技论文统计源期刊；中国学术期刊文摘统计源期刊

网址：<http://www.gpxygpfx.com>

本刊 e-mail：chngpxygpfx@vip.sina.com

修改稿专用邮箱：gp2008@vip.sina.com

Spectroscopy and Spectral Analysis

(*Guangpuxue Yu Guangpu Fenxi*)

Vol. 41 No. 12

(Monthly)

December 2021

Contents

Recent Advances in Application of Near-Infrared Spectroscopy for Quality Detections of Grapes and Grape Products	ZHANG Jing, et al (3653)
Terahertz Time-Domain Spectral Study of Paracetamol	ZHENG Zhan-ping, et al (3660)
A Method of Terahertz Spectrum Material Identification Based on Wavelet Coefficient Graph	CHEN Yan-ling, et al (3665)
Study on the Analysis Total As in Bentonite With Microwave Plasma Atomic Emission Spectrometry	LIA I-yang, et al (3671)
Research on the Relationship Between Modulation Depth and Center of High Order Harmonic in TDLAS Wavelength Modulation Method	CHEN Hao, et al (3676)
Effect of Soil Particle Size on Prediction of Soil Total Nitrogen Using Discrete NIR Spectral Data	ZHOU Peng, et al (3682)
Rapid Determination of α -1-Casein and κ -Casein in Milk Based on Fourier Transform Infrared Spectroscopy	XIAO Shi-jie, et al (3688)
A Nondestructive Identification Method of Producing Regions of Citrus Based on Near Infrared Spectroscopy	ZHANG Xin-xin, et al (3695)
Vis-NIR Spectra Discriminant of Pesticide Residues on the Hami Melon Surface by GADF and Multi-Scale CNN	YU Guo-wei, et al (3701)
Rapid Identification of Crude and Processed <i>Polygoni Multiflori</i> Radix With Mid-IR and Pattern Recognition	LIN Yan, et al (3708)
A Near-Infrared TDLAS Online Detection Device for Dissolved Gas in Transformer Oil	CHEN Yang, et al (3712)
IR Spectral Inversion of Methane Concentration and Emission Rate in Shale Gas Backflow	CHENG Xiao-xiao, et al (3717)
Study on the Soot Order Degree and Functional Groups of Doping CH ₄ Into C ₂ H ₄ /H ₂ Diffusion Flame With Raman and FTIR	ZHU Yu-han, et al (3722)
Recognition of Different Parts of Wild Cordyceps Sinensis Based on Infrared Spectrum	CHEN Tao, et al (3727)
Syntheses, Spectral Study and Antitumor Properties of Two Polyoxogermanotungstates	HUANG Xiao-hui, et al (3733)
Quantitative Detection of Agaricus Bisporus Freshness Based on VIS -NIR Spectroscopy	MA Hao, et al (3740)
A Method for Detecting Sucrose in Living Sugarcane With Visible-NIR Transmittance Spectroscopy	LÜ Xue-gang, et al (3747)
A Flexible Water Structure : Evidence From Raman Spectroscopy	HU Qing-cheng, et al (3753)
Rapid Detection of Levamisole Residue in Pork by Surface Enhanced Raman Spectroscopy	SHI Si-qian, et al (3759)
Quantitative Detection of Ascorbic Acid Additive in Flour Based on Raman Imaging Technology	WANG Xiao-bin, et al (3765)
Rapid Detection of Anthocyanin in Mulberry Based on Raman Spectroscopy	ZHANG Hui-jie, et al (3771)
The Occurrence and Distribution of REE Minerals in Fluorite-Type Ores in Bayan Obo : Constraints From Raman Mapping	ZHANG Tie-zhu, et al (3776)
Design and Batchable Fabrication of High Performance 3D Nanostructure SERS Chips and Their Applications to Trace Mercury Ions Detection	HUANG Hui, et al (3782)

Fluorescence Excitation Emission Matrix Properties of the Effluents From the Wastewater Treatment Plants in Jiangyin City , Jiangsu Province	<i>CHENG Cheng , et al</i> (3791)
BRRDF Simulation Research on Multiple Detection Parameters of Water-in-Oil Emulsion of Oil Spill on the Sea Surface	<i>ZHANG Xiao-dan , et al</i> (3797)
Fluorescence Imaging and Chiral Specific Biological Recognition	<i>FEI Xue-ning , et al</i> (3802)
X-Ray Fluorescence Spectroscopy Combined With SEM-EDS Analysis to Glaze Composition of Glazed Tiles in Yuan Dynasty	<i>SHI Ruo-yu , et al</i> (3808)
Study on Sample Preparation Method of Plant Powder Samples for Total Reflection X-Ray Fluorescence Analysis	<i>JIA Wen-bao , et al</i> (3815)
Determination of 5 Kinds of Selenium Species in Livestock and Poultry Meat With Ion Pair Reversed Phase Liquid Chromatography-Atomic Fluorescence Spectrometry	<i>WEI Yi-hua , et al</i> (3822)
Inversion of Wheat Tiller Density Based on Visible-Band Images of Drone	<i>DU Meng-meng , et al</i> (3828)
Study on the Identification Method of Citrus Leaves Based on Hyperspectral Imaging Technique	<i>WU Ye-lan , et al</i> (3837)
Research on Rich Borer Detection Methods Based on Hyperspectral Imaging Technology	<i>OUYANG Ai-guo , et al</i> (3844)
Classification of Camouflages Using Hyperspectral Images Combined With Fusing Adaptive Sparse Representation and Correlation Coefficient	<i>ZHOU Bing , et al</i> (3851)
Combine Hyperspectral Imaging and Machine Learning to Identify the Age of Cotton Seeds	<i>DUAN Long , et al</i> (3857)
Research on the Cause of Splitting of OH Vibration Spectrum in “Heibi”.....	<i>DAI Lu-lu , et al</i> (3864)
Original Position Statistic Distribution Analysis (OPA) and Characterization of Components in Titanium Alloy Welding Sample by Laser Induced Breakdown Spectroscopy (LIBS)	<i>SHEN Xue-jing , et al</i> (3869)
Investigation of Lithium Analysis in Geothermal Water by Inductively Coupled Plasma Optical Emission Spectrometry	<i>ZHANG Chen-ling , et al</i> (3876)
Evaluations of Environmental Trace Gases Monitoring Instrument (EMI) Level 1 Data	<i>CHENG Liang-xiao , et al</i> (3881)
A Multispectrum Fitting Program Based on Non-Linear Least-Squares Method for Line Parameters : Application to $^{12}\text{CH}_4$	<i>MA Hong-liang , et al</i> (3887)
Solar Radiation Observation During a Solar Eclipse in Tibet	<i>WANG Qian , et al</i> (3892)
Flame Retardant Mechanism Investigation of Thermoplastic Polyurethane Composite /Ammonium Polyphosphate/ Aluminum Hydroxide Composites Based on Spectroscopy Analysis	<i>PENG Jian-wen , et al</i> (3901)
Mechanism Investigation of Cement-Based Permeable Crystalline Waterproof Material Based on Spectral Analysis	<i>HE Xiong-fei , et al</i> (3909)
Study on Diffuse Reflection and Absorption Spectra of Organic and Inorganic Chinese Painting Pigments	<i>XU Zhao-jin , et al</i> (3915)
Nonlinear Full-Spectrum Quantitative Analysis Algorithm of Complex Water Based on IERT	<i>LIU Jia-cheng , et al</i> (3922)
Influence of AEO-9 on Ultraviolet Absorbance Spectrum of TDBAC Reduced by β -CD	<i>XU Hui-hua , et al</i> (3931)
Gemological and Spectroscopic Characteristics of Natural White Sodalite With Tenebrescence	<i>YAN Xiao-xu , et al</i> (3936)
A New Method for Inflection Point Temperature Calculation of Large-Area High-Temperature Fixed-Point Blackbody Used in Spectral Irradiance Scale Realization	<i>XIE Yi-hang , et al</i> (3942)
Research on Large-Scale Monitoring of Spider Mite Infestation in Xinjiang Cotton Field Based on Multi-Source Data	<i>YANG Li-li , et al</i> (3949)
Modification of Ternary Layered Hydroxide and Removing for Orange II With Spectroscopy	<i>JIANG Shuang-cheng , et al</i> (3957)